

01;04

Об электрических полях в компактных скоплениях параллельных токовых каналов

© В.И. Карелин, А.А. Тренькин

Российский федеральный ядерный центр
Всероссийский научно-исследовательский институт экспериментальной физики,
607190 Саров Нижегородская область, Россия
e-mail: karelin@ntc.vniief.ru

(Поступило в Редакцию 22 апреля 2005 г.)

Для модели пучка параллельных длинных цилиндрических проводников выполнен расчет электрического поля в компактных скоплениях параллельных токовых каналов. Показано, что в скоплении большого количества микроканалов в результате взаимного ослабления их полей максимальная напряженность радиального поля может быть ниже критической, необходимой для ионизационного размножения и расширения. Это позволяет объяснить существование групп микроканалов радиуса менее $10\ \mu\text{m}$ в высоковольтных наносекундных диффузном и искровом разрядах.

PACS: 52.80.Tn

Введение

В ряде работ [1–3] по исследованию высоковольтных наносекундных разрядов в воздухе атмосферного давления обнаружена микроструктура токовых каналов, представляющая собой совокупность тонких каналов микронного диаметра. Так в [1,2] при исследовании высоковольтного диффузного разряда обнаружены микроканалы диаметром $\Delta_{\text{mic}} = 1\text{--}10\ \mu\text{m}$, объединенные в скопления $N \sim 1000$ штук при среднем расстоянии $D \sim 100\ \mu\text{m}$ между ними. Микроструктура обнаружена в искровом разряде наносекундного диапазона, формируемом в однородном и резко-неоднородном промежутках [3], где искровой канал диаметром $0.4\ \text{mm}$ представляет собой компактное скопление большого числа ($N = 600\text{--}900$) микроканалов диаметром $5\text{--}10\ \mu\text{m}$ при среднем расстоянии между ними $20\ \mu\text{m}$. В качестве механизма формирования микроструктуры предложено развитие неустойчивости на фронте волны ионизации [2–4]. Отдельные микроканалы с $\Delta_{\text{mic}} \leq 10\ \mu\text{m}$ обнаружены и в барьерном разряде в воздухе атмосферного давления в однородном поле [5]. В связи с этим представляется, что в высоковольтных разрядах наносекундного диапазона микроструктура токовых каналов — явление не редкое. Вместе с тем, как неоднократно отмечалось в литературе, возможность существования одиночных каналов микронного диаметра маловероятна, поскольку высокие радиальные поля вызовут ионизацию газа на поверхности и расширение микроканала [6,7].

В данной работе показано, что в случае компактных групп микроканалов благодаря суперпозиции их полей происходит ослабление поля в скоплении и максимальная напряженность поля может быть ниже критической E_{cr} , необходимой для ионизационного размножения и расширения.

Расчет электрического поля в системе микроканалов

В соответствии с экспериментальными данными рассмотрим два приближения для расчета электрического поля в скоплении микроканалов радиуса r_0 , с характерным расстоянием D между ними, соответствующих плотному ($r_0 \sim D$), в случае искрового разряда [3], и менее плотному ($r_0 \ll D$), при высоковольтном диффузном разряде [1,2], распределению микроканалов в канале.

1. Расчет поля скопления микроканалов малой плотности

Моделью системы микроканалов служил пучок N параллельно расположенных длинных проводящих цилиндров радиуса r_0 , с одинаковым потенциалом U_0 . В плоскости, перпендикулярной оси, цилиндры равномерно распределены в области радиуса R_0 с характерным расстоянием $D = R_0 \sqrt{\frac{\pi}{N}}$ между ними (рис. 1). На окружности радиуса R потенциал полагается равным нулю. При выполнении условий

$$r_0 \ll R_0 \ll R, \quad (1)$$

$$D \gg r_0 \text{ или } N \ll \pi \left(\frac{R_0}{r_0} \right)^2 \quad (2)$$

взаимным влиянием цилиндров можно пренебречь и вычислять суммарное поле как суперпозицию полей одиночных заряженных цилиндров. Из (2) получаем ограничение сверху для числа каналов $N \leq 10^4$. Полученные экспериментальные значения $N \sim 10^3$ удовлетворяют данному ограничению, а значения r_0 , R_0 , R удовлетворяют (1). Таким образом, распределение напряженности электрического поля $E_i(r)$, создаваемого каждым микроканалом, приближенно можно описать функцией $\mathbf{E}_i(r) = C \frac{\mathbf{r}-\mathbf{r}_i}{(r-r_i)^2}$, где радиус вектор $r_i \leq R_0$

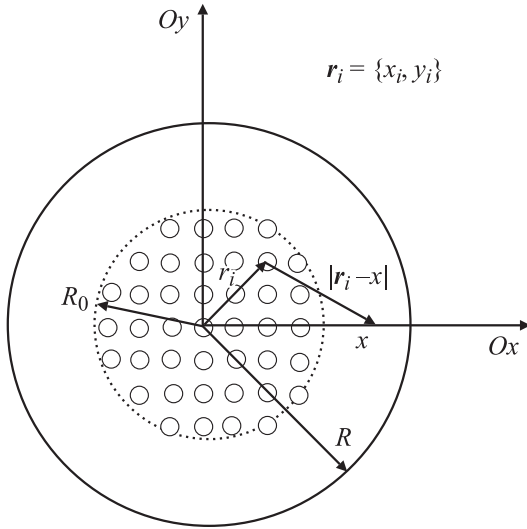


Рис. 1. Схема расчета электрического поля скопления микроканалов с малой плотностью распределения.

характеризует положение i -го микроканала, C — константа. Тогда суммарное поле равно

$$\mathbf{E}(r) = \sum_{i=1}^N \mathbf{E}_i,$$

здесь суммирование ведется по всем элементам. Условие постоянства потенциала каждого элемента запишется как

$$\int_{r_i}^R E(r) dr = U_0.$$

С учетом условия (1) последнее выражение можно записать в виде

$$\int_{R_0}^R E(r) dr = U_0. \quad (3)$$

Поле вычислялось на положительной полуоси оси Ox (рис. 1). В силу симметрии оно имеет только x -ю составляющую:

$$E(x) = C \sum_{i=1}^N \frac{x - x_i}{x^2 + r_i^2 - 2xx_i}.$$

Условие (3) позволяет определить C . В итоге получаем

$$E(x) = \frac{U_0}{\sum_{i=1}^N \ln \left(\sqrt{\frac{R^2 + r_i^2 - 2Rx_i}{R_0^2 + r_i^2 - 2R_0x_i}} \right)} \sum_{i=1}^N \frac{x - x_i}{x^2 + r_i^2 - 2xx_i}. \quad (4)$$

Рассмотрим полученное выражение. При высоких значениях $N \sim 1000$ поле в скоплении существенно не изменится при переходе от круговой области радиуса

$D\sqrt{\frac{N}{\pi}}$ к квадратной со стороной $D\sqrt{N}$ и обратно. Максимального по модулю значения поле достигает, очевидно, на поверхности микроканала. Рассмотрим поле на поверхности микроканала с номером K .

$$E_{r_0}(K) = \frac{U_0}{\sum_{i=-M}^M \sum_{j=-M}^M \ln \left(\sqrt{\frac{R^2 + x_i^2 + y_j^2 - 2Rx_i}{R_0^2 + x_i^2 + y_j^2 - 2R_0x_i}} \right)} \times \sum_{i=-M}^M \sum_{j=-M}^M \frac{(x_K \pm r_0) - x_i}{(x_K \pm r_0)^2 + x_i^2 + y_j^2 - 2(x_K \pm r_0)x_i},$$

где $M = \frac{\sqrt{N}}{2}$. Знак „минус“ перед r_0 соответствует полю на обращенной к центру скопления левой стороне микроканала, плюс — на противоположной, правой. С учетом условий (1) и (2) с точностью до членов порядка R_0/R под знаком логарифма и r_0/D^2 в двойной сумме можно записать

$$E_{r_0}(K) = \frac{U_0}{\sum_{i=-M}^M \sum_{j=-M}^M \ln \left(\sqrt{\frac{R^2}{D^2 \left(\left(\frac{R_0}{D} \right)^2 + i^2 + j^2 - 2 \frac{R_0}{D} i \right)}} \right)} \times \left(\pm \frac{1}{r_0} + \frac{1}{D} \sum_{i=-M}^{K-1} \sum_{j=-M}^M \frac{K-i}{(K-i)^2 + j^2} + \frac{1}{D} \sum_{i=K+1}^M \sum_{j=-M}^M \frac{K-i}{(K-i)^2 + j^2} \right).$$

Первое слагаемое в скобках — собственное поле микроканала, второе и третье характеризуют влияние остальных микроканалов скопления. На правой поверхности микроканала второе слагаемое усиливает, а третье ослабляет ($K - i < 0$) собственное поле. На левой поверхности ситуация обратная.

Методом интегрального суммирования найдем приближенные выражения для полученных рядов, что позволит провести качественный анализ распределения поля в скоплении микроканалов

$$\sum_{i=-M}^{K-1} \sum_{j=-M}^M \frac{K-i}{(K-i)^2 + j^2} = \int_{-M}^{K-1} dx \int_{-M}^M dy \frac{K-x}{(K-x)^2 + y^2} = \int_1^{M+K} r dr \int_{-\frac{\pi}{2}}^{\frac{\pi}{2}} d\varphi \frac{r \cos \varphi}{r^2} = 2(K + M - 1).$$

Аналогично

$$\sum_{i=K+1}^M \sum_{j=-M}^M \frac{K-i}{(K-i)^2 + j^2} = -2(M - K - 1).$$

При этом в первом и втором случаях мы заменили прямоугольные области интегрирования со сторонами $2M$,

$M + K$ и $2M$, $M - K$ кругами радиуса $M + K$ и $M - K$ соответственно. Данная замена не внесет существенной ошибки, поскольку подынтегральная функция убывает с расстоянием. Далее получаем

$$\begin{aligned} & \sum_{i=-M}^M \sum_{j=-M}^M \ln \left(\sqrt{\frac{R^2}{D^2 \left(\left(\frac{R_0}{D} \right)^2 + i^2 + j^2 - 2 \frac{R_0}{D} i \right)}} \right) \\ &= \sum_{i=-M}^M \sum_{j=-M}^M \left(\frac{1}{2} \ln \left(\frac{R}{D} \right)^2 - \frac{1}{2} \ln [M^2 + i^2 + j^2 - 2Mi] \right) \\ &= N \ln \left(\frac{R}{D} \right) - \frac{1}{2} \sum_{i=-M}^{M-1} \sum_{j=-M}^M \ln [(M-i)^2 + j^2], \end{aligned}$$

$$\begin{aligned} & \sum_{i=-M}^{M-1} \sum_{j=-M}^M \ln [(M-i)^2 + j^2] \\ & \approx \int_{-M}^{M-1} dx \int_{-M}^M dy \ln [(M-x)^2 + y^2] \\ &= \int_1^{2M} dt \int_{-M}^M dy \ln [t^2 + y^2] < \int_1^{2M} r dr \int_{\frac{\pi}{2}}^{\frac{3\pi}{2}} d\varphi \ln(r^2) \\ &= \pi \frac{(2M)^2}{2} (\ln(2M)^2 - 1). \end{aligned}$$

Знак $<$ в последнем выражении отражает тот факт, что, переходя к полярным координатам, мы заменяем квадратную область интегрирования $(0, M)$, $(2M, M)$, $(2M, -M)$, $(0, -M)$ на больший по площади полукруг радиуса $2M$ при возрастающей подынтегральной функции. Для экспериментальных данных выполняется соотношение

$$\pi \frac{(2M)^2}{4} (\ln(2M)^2 - 1) < N \ln \left(\frac{R}{D} \right),$$

поэтому слагаемым $\frac{1}{2} \sum_{i=-M}^{M-1} \sum_{j=-M}^M \ln [(M-i)^2 + j^2]$ можно пренебречь. В итоге имеем

$$E_{r_0}(K) = \frac{U_0}{r_0} \frac{\pm 1 + 4 \frac{r_0}{D} K}{N \ln \left(\frac{R}{D} \right)}.$$

Видно, что поле минимально в центре скопления при $K = 0$, растет по мере удаления от него и на правой стороне микроканала имеет только положительную компоненту. Максимального значения поле достигает на границе скопления при $K = M = \frac{\sqrt{N}}{2}$:

$$(E_N)^{\max} = \frac{U_0}{r_0} \frac{\pm 1 + \frac{2}{\sqrt{\pi}} \frac{r_0}{R_0} N}{N \ln \left(\frac{R}{R_0} \sqrt{\frac{N}{\pi}} \right)}. \quad (5)$$

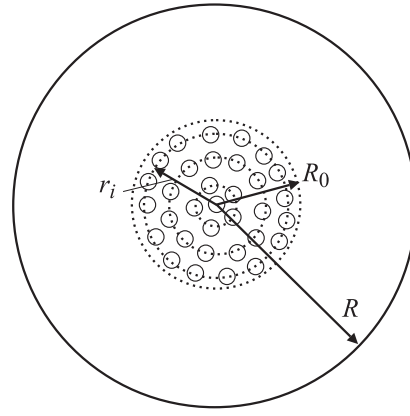


Рис. 2. Схема расчета электрического поля скопления микроканалов с высокой плотностью распределения.

На левой стороне микроканала поле отрицательно в центре скопления, обращается в ноль при

$$K_0 = \frac{D}{4r_0} \quad (6)$$

и далее имеет только положительную составляющую. Скачок поля при переходе с левой границы микроканала на правую не зависит от K и равен

$$\Delta E_{r_0} = \frac{2U_0}{r_0 N \ln \left(\frac{R}{D} \right)}. \quad (7)$$

2. Расчет поля скопления микроканалов высокой плотности

Эксперименты [3] свидетельствуют о том, что в искровом разряде $r_0 \sim D$ некоторые микроканалы сливаются друг с другом и их взаимным влиянием пренебрегать уже нельзя. В связи с этим можно, однако, попытаться представить их совокупность как систему концентрических цилиндров (рис. 2) с радиусами $r_i = iD$ ($i = 1, 2, \dots, M$), где $M = \frac{R_0}{D}$, на каждом из которых находится заряд Q_0 . Соответствующая система уравнений запишется как

$$\Delta \varphi(r) = \frac{1}{\varepsilon_0} \sum_{m=1}^M Q_0 \delta(r - mD),$$

$$\int_{R_0}^R E(r) dr = U_0, \quad E(r) = -\frac{\partial \varphi}{\partial r},$$

где ε_0 — диэлектрическая постоянная, $\delta(\dots)$ — дельта-функция Дирака. Задача имеет аналитическое решение

$$E(r) = \frac{1}{r} \frac{U_0 S(r) (S(r) + 1)}{M(M+1) \ln \left(\frac{R}{R_0} \right)}, \quad (8)$$

где

$$S(r) = \begin{cases} \left[\frac{r}{R_0} M \right], & \text{при } r \leq R_0 \\ M, & \text{при } r > R_0 \end{cases}, \quad [x] — \text{целая часть числа } x.$$

Результаты и их обсуждение

По данным экспериментов [2,3], из всех параметров микроструктуры, входящих в выражения (4) и (8), неопределенной является величина U_0 . Это связано с тем, что при пробое напряжение на разрядном промежутке начинает резко падать и его значение в фазе существования микроструктуры не известно. Для расчетов по (4) положим $U_0 = 30$ kV, по (8) $U_0 = 11$ kV. Ниже будет показано, что это верхние границы значений величины U_0 , при которых максимальное поле в скоплении меньше критического.

1. Поле скопления микроканалов малой плотности

На рис. 3 представлены результаты численного расчета по формуле (4) для данных [2] $r_0 = 2$ μm , $R_0 = 0.175$ cm, $R = 20$ cm и $N = 3000$. Видно, что поле ступенчатым образом спадает по мере продвижения внутрь скопления микроканалов и приобретает отрицательную компоненту в центральной части. Максималь-

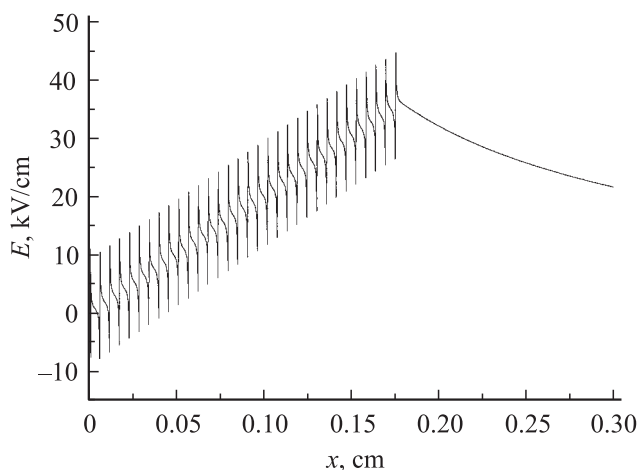


Рис. 3. Распределение напряженности поля.

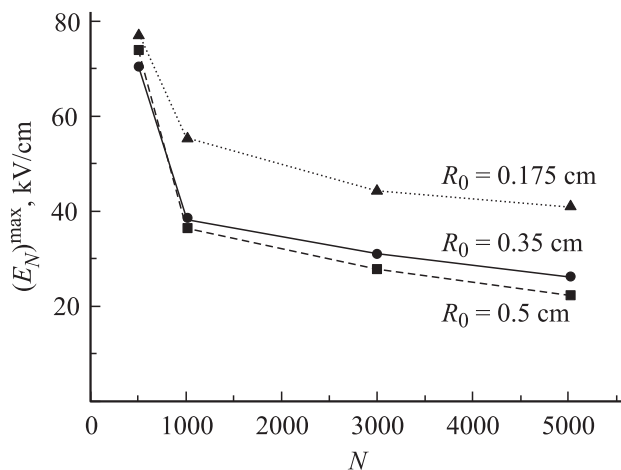


Рис. 4. Зависимость максимального поля скопления от числа микроканалов для разных значений R_0 ($U_0 = 30$ kV, $r_0 = 2$ μm , $R = 20$ cm).

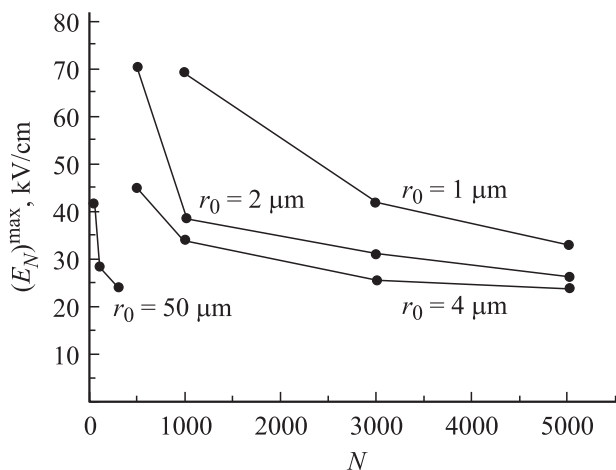


Рис. 5. Зависимость максимального поля скопления от числа микроканалов для разных значений r_0 ($U_0 = 30$ kV, $R_0 = 0.35$ cm, $R = 20$ cm).

ного значения поле достигает на границе R_0 . На рис. 4 представлена зависимость максимального поля $(E_N)^{\text{max}}$ от числа микроканалов в скоплении для разных значений R_0 , а на рис. 5 — для разных значений r_0 . Видно, что поле скопления убывает с увеличением N и с ростом их радиуса r_0 . Сравнение результатов численных расчетов с аналитическим приближением (5)–(7) показывает, что формула (5) правильно отражает основные закономерности распределения поля в скоплении микроканалов и дает близкие к расчетным числовые значения, например $(E_N)^{\text{max}} = 30$ kV/cm, $\Delta E_{r_0} = 12$ kV/cm, $K_0 = 7$. Внутри скопления происходит взаимное ослабление полей микроканалов и общее поле значительно снижается по сравнению с полем уединенного микроканала того же радиуса, которое равно

$$(E_1)^{\text{max}} \frac{U_0}{r_0 \ln\left(\frac{R}{r_0}\right)} \approx 13 \text{ MV/cm.}$$

Поле на поверхности микроканала, находящегося в центре скопления, будет

$$(E_N)^c = \frac{U_0}{r_0 N \ln\left(\frac{R}{R_0} \sqrt{\frac{N}{\pi}}\right)}.$$

Поле на границе скопления при больших N составляет

$$(E_N)^b = \frac{2}{\sqrt{\pi}} \frac{U_0}{R_0 \ln\left(\frac{R}{R_0} \sqrt{\frac{N}{\pi}}\right)}.$$

Сравнение последних выражений показывает, что напряженность поля на внешней поверхности скопления определяется диаметром канала, а в центре ослабляется примерно в N раз по сравнению с полем уединенного микроканала.

Для существования микроканалов необходимо, чтобы $(E_N)^{\text{max}}$ стало меньше E_{cr} . Величину E_{cr} можно оценить,

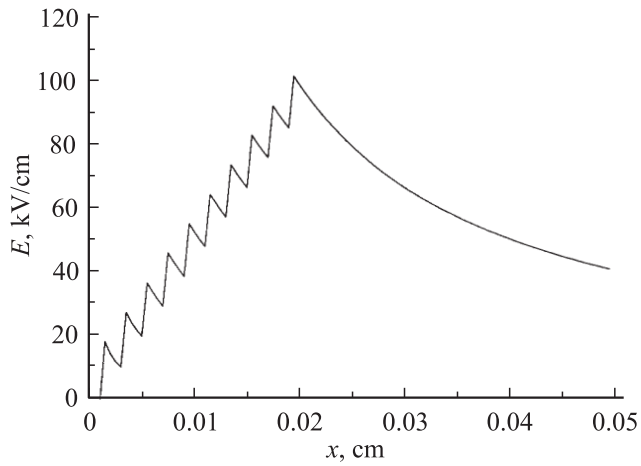


Рис. 6. Распределение напряженности поля.

заменяя скопление микроканалов сплошным проводником радиуса R_0 . По аналогии с [6] воспользуемся эмпирической формулой Пика для порогового радиального поля у поверхности провода радиуса R_0 , при котором около провода зажигается коронный разряд. Для воздуха при нормальных условиях

$$E_{cr} = 31 \left(1 + \frac{0.308}{\sqrt{R_0}} \right) \text{ кВ/см.} \quad (9)$$

Отсюда для рассматриваемых R_0 получаем $E_{cr} = (44\text{--}54) \text{ кВ/см}$. Тогда в соответствии с (4) при $U_0 \leq (30\text{--}36) \text{ кВ}$ выполняется условие $(E_N)^{\max} \leq E_{cr}$. Отметим, что при $U_0 = 60 \text{ кВ}$ условие $(E_N)^{\max} \leq E_{cr}$ выполняется для $r_0 = 50 \mu\text{м}$, начиная с $N = 500$, в то время как в [6] указанное условие для одиночного канала выполняется при $r_0 = 0.23 \text{ см}$.

2. Поле скопления микроканалов высокой плотности

В этом случае механизм ослабления поля в скоплении микроканалов аналогичен рассмотренному выше, однако использование формул (5)–(7), по-видимому, неправомерно в силу сделанных выше замечаний. Результаты расчета по формуле (8) для данных [3] $r_0 = 5 \mu\text{м}$, $R_0 = 0.02 \text{ см}$, $R = 5 \text{ см}$ и $N = 700$ представлены на рис. 6. Критическое поле (9) в этом случае составляет $E_{cr} = 100 \text{ кВ/см}$ и $(E_N)^{\max} \leq E_{cr}$ при $U_0 \leq 11 \text{ кВ}$.

Отметим, что в отличие от рассмотренных выше случаев, когда ослабление поля в скоплении микроканалов возможно благодаря большому количеству N , существование одиночных ($N = 1$) микроканалов в барьерном разряде [5], по-видимому, объясняется относительно низким значением U_0 . Так, напряжение пробоя в указанных экспериментах составляло $4.5\text{--}9 \text{ кВ}$. Однако оценка параметра U_0 с использованием формулы (9) неправомерна, поскольку данная формула неприменима для микронных $R_0 = r_0$ [8].

Заключение

Взаимное ослабление радиального поля системы микроканалов до $E < E_{cr}$ допускает возможность существования групп микроканалов с $r_0 < 10 \mu\text{м}$. Поле скопления убывает с ростом числа микроканалов N , что позволяет объяснить существование микроструктуры в высоковольтных наносекундных диффузном и искровом разрядах, где N велико. Существование одиночных микроканалов в барьерном разряде, по-видимому, объясняется относительно низким значением напряжения U_0 .

Список литературы

- [1] Буранов С.Н., Горохов В.В., Карелин В.И. и др. // Квантовая электроника. 1991. Т. 18. Вып. 7. С. 891–893.
- [2] Буранов С.Н., Горохов В.В., Карелин В.И. и др. Микроструктура токовых каналов и убегание электронов в высоковольтных диффузных разрядах атмосферного давления. Исследования по физике плазмы / Под ред. В.Д. Селемира, А.Е. Дубинова. Саров, 1998. С. 39–67.
- [3] Перминов А.В., Тренькин А.А. // ЖТФ. 2005. Т. 75. Вып. 9. С. 52–55.
- [4] Лозанский Э.Д., Фирсов О.Б. Теория искры. Атомиздат, 1975. 272 с.
- [5] Буранов С.Н., Горохов В.В., Карелин В.И. и др. // ЖТФ. 2004. Т. 74. Вып. 10. С. 40–44.
- [6] Базелян Э.М., Райзер Ю.П. Искровой разряд. М.: Изд. МФТИ, 1997. 320 с.
- [7] Самойлович В.Г., Гибалов В.Ч., Козлов К.В. Физическая химия барьерного разряда. М., 1989. 176 с.
- [8] Райзер Ю.П. Физика газового разряда. М.: Наука, 1987. 592 с.